### A С Т Р О Ф И З И К А

**TOM 18** 

МАЙ, 1982

выпуск 2

УДК 52-64-726-337

# ПРИБЛИЖЕННЫЕ МЕТОДЫ РЕШЕНИЯ ЗАДАЧ ПЕРЕНОСА ИЗЛУЧЕНИЯ В ХОЛОДНОЙ ПЛАЗМЕ С СИЛЬНЫМ МАГНИТНЫМ ПОЛЕМ

А. Д. КАМИНКЕР, Г. Г. ПАВЛОВ, Н. А. СИЛАНТЬЕВ, Ю. А. ШИБАНОВ Поступила 25 мая 1981 Примята и печаты 18 марта 1982

Предлагаются два приближеними методя решения задач переноса излучения в опимески толстой пласые с произвольно направленным, однородным магнитным полем. Оба метода исходят из диффузионных уравнений и отлачаются способом продолжения диффузионного решения на глубины среды и излучающей граняце. С помощью этих методов получены простые аналитические формулы, удловым и поляризационных характеристик выходящего из среды излучения. Результаты хорошо согласуются с более точными численными решениями [7], полученными для случая, когла магнитное поленормально к граняце.

1. Введение. Для интерпретации наблюдательных данных и построения моделей реитгеновских и гамма-источников, связаниых с нейтронными ввездами, важной является задача о переносе излучения в плазме с очень сильным магнитным полем  $B\sim 10^{11}-10^{13}$  Гс. При  $a_{\rm s}^{\rm ini} \geq (h_{\rm c}/m_{\rm c}^{\rm ini})(e^{2}/h_{\rm c})$ , где  $a_{\rm c}^{\rm ini} = eB_{\rm i}/m_{\rm c}$  циклотронная частота,  $a_{\rm c}^{\rm ini} = eB_{\rm c}/m_{\rm c}$  циклотронная сильной фарадеевской деполяризации и свойства излучения полностью определяются [1] интенсивноствии I (f=1, 2 соответствуют необыкиовенной и обыкноненной волнам) днух различно поляризованных нормальных волн (HB).

В стационарных условиях они подчиняются системе уравнений переноса (см., например, [2])

$$(n \nabla) I_I(n) = -k_I(n) I_I(n) + \sum_{i=1}^{n} \int dn' I_I(n') k_{iI}(n', n) + Q_I(n),$$
 (1)

где  $k_j(n)=k_j^*(n)$   $\div k_j^*(n)$  — полный коэффициент поглощения (экстинкции) j-ой НВ,  $k_j^*(n)=\sum \int dn' k_j\cdot (n,n')$  и  $k_j^*(n)$  — интегральный коэф-

фициент рассеяния и коэффициент истинного поглощения,  $k_{ij}(n',n)$ — коэффициент рассеяния i-ой волны в j-ую из направления n в n,  $Q_j$  — излучательная способность плазмы. Для простоты изложения мы ограничимся практически важным случаем  $Q_j(n) = k_n^a(n) q$ , где q не зависит от n (в частном случае локального термодинамического равновесия (ЛТР)  $q = B_*(T)/2$ , где  $B_*(T)$ — планковская интенсивность). Уравнения (1) справедливы, если поляризуемость плазмы много меньше единицы, т. е.  $\omega$  ( $|\omega| = |+ \gamma$ ), где  $= (4\pi N_e e^2/m)^{1/2} -$  электронная плазменная частота,  $\frac{\pi}{n}$ — характерная ширина циклотронного резонанса. Кроме того, в (1) подразумевается, что изменением частоты фотома при многократном рассеянии можно пренебречь (для этого необходимо  $\hbar\omega \ll mc^2$ ,  $kT_* \ll mc^2 -$  подробнее см. (3, 4).

В предельном случае малых полей ( решения (1) были получены в [5]. Для очень больших полей ( задача переноса (с учетом только обыкновенной волны) рассматривалась Баско [6]. Для произвольных одним из авторов был разработан [7] метод численного решения (1) с помощью обобщенных тензорных функций Амбарцумяна-Чандрасекара (Н-функций). Метод [7] позволяет достичь высокой точности решений, но приводит к значительным вычислительным трудностям, когда магнитное поле не нормально к границе излучающей области. Кроме того, он не позволяет записать решения в простой и наглядной форме, что затрудняет качественный анализ получаемых результатов Поэтому, наряду с более точными численными методами, имеет смысл развивать также приближенные методы, приводящие к выражениям, удобным для качественного анализа и не требующим большого объема вычислений, При разработке таких методов для оптически толстой плазмы с магнитным полем естественно использовать [8, 1, 2] тот факт, что в глубоких слоях среды применимо диффузионное приближение. Нагель [9] и Месарош, Нагель и Вентура [10] с помощью диффузионных уравнений для плотности квантов НВ вычисляли спектр потока излучения, выходящего из изотермической однородной плазмы. В [9] и [10], однако, использовались коэффициенты диффузии, отличные друг от друга, и не рассматривались угловые и поляризационные характеристики излучения. Канно [11] вычислях угловое распределение интенсивности излучения плазмы для чистого рассеяния ( $k_j=0$ ,  $Q_j=0$ ), предполагая, что плотности диффундирующих квантов в двух НВ равны между собой вплоть до самой границы.

В настоящей работе предлагаются два приближенных метода (разделы 3 и 4) решения задач переноса излучения в плазме с магнитным полем. При этом, как и в [5—7, 9—11] мы ограничимся приближением хо2. Уравнения лиффузии фотонов. Естественно ожидать, что в глубоких слоях среды четная по n часть  $I_f(n)$  близка к изотропной функции координат  $R_f$ , которая определяет плотность  $(4\pi/c)\,R_f$  лучистой энергии в f-ой HB. Тогда нечетная по n часть  $I_f(n)$  получается из (1) при учете симметрии  $k_f(n',n)$  и  $k_f^a(n)$  (см. (П16)). В итоге для интенсивности и потока  $F_f = \int dn\,n\,I_f(n)$  в f-ой HB имеют место при-ближенные выражения:

$$I_{j} \simeq I_{i}^{(0)} = R_{j} - \frac{n}{k_{j}(n)} R_{j}, \quad F_{i,*}^{(0)} = -4\pi \sum_{k} D_{kk}^{j} \nabla_{k} R_{j}.$$
 (2)

Величину

$$D'_{ab} = \frac{1}{4\pi} \int dn \frac{n_a n_b}{k_c(n)} \tag{3}$$

будем называть тенаорным коэррициентом диффузии j-ой волны. Если магнитное поле  $B \to 0$ , то  $D \to \pi_0$  [3 ( $N \circ \tau + k^a$ )] , где  $\sigma_T$  и  $k^a \to \infty$  томсоновское сечение и коэфрициент истинного поглощения. Если в качестве  $I_j$  в уравнение (1) 'подставить  $I_j^{(0)}$  из (2), проинтегрировать полученное выражение по n и использовать ( $\Pi$ 16), то получается система уравнений диффузии

$$\sum_{i,b} \nabla_a D_{ab}^i \nabla_b R_i - S(R_i - R_{3-i}) = x_i (R_i - q), \tag{4}$$

$$x_{j} = \frac{1}{4\pi} \left( dnk_{j}^{n}(n), \quad S = \frac{1}{4\pi} \left( dndn_{j}k_{j}, s_{-j}(n, n'), \right) \right)$$
 (5)

Величина S представляет собой усредненный коэффициент трансформации одного типа НВ в другой. Система уравнений (4) была написана Нагелем [9] из феноменологических соображений. Подчеркием, что приведенный выше вывод показывает, что уравнения (4), в отличие от диффуновных уравнений работы [10], справедливы не только при малой анизотропии коэффициентов перемоса.

В очень глубоких слоях, где излучение неполяризовано [1], т. е.  $R_1=R_2=R/2$ , из (4) следует уравнение диффузии для R [2, 8]:

$$\sum a D_{ab} \nabla_b R = x (R - 2q), \tag{4a}$$

rae  $D_{ab} = (D_{ab}^1 + D_{ab}^2)/2$ ,  $x = (x_1 + x_2)/2$ .

В данной работе мы ограничимся рассмотрением излучения полубесконечной плоскопараллельной среды с однородным магнитным полем.

 ${f S}$  втом случае удобно ввести оптическую глубину =  ${f z}_T\int\limits_0^{\infty}Ndz$  (z —

геометрическая глубина) по отношению к томсоновскому рассеянию, а все величины, имеющие размерность длины или обратной длины, измерять в единицах ( $N_{s,t}$ ) или  $N_{s,t}$ . Тогда  $n \bigtriangledown - \frac{1}{2} N_{s,t} \frac{3}{2} (d/d^2)$ ,  $\mu = \cos \Theta$ ,  $\Theta = \text{угол между внешней нормалью к поверхности и волновым вектором; а в (4) и (4a) <math>\sum_{a,b} D_{a,b} \frac{1}{2} (d/d^2)$ ,  $D_{a,b} \frac{1}{2} (d$ 

$$\vec{D_j} = \int_0^1 \frac{\cos^2 \theta \sin \theta}{k_j(n)} d\theta, \qquad \vec{D_j} = \frac{1}{2} \int_0^2 \frac{\sin^2 \theta}{k_j(n)} d\theta, \tag{6}$$

0 — угол между n и B.

3. Метод связанной диффузии HB с обобщенными граничными условиями Маршака. Если в интегральный член исходной системы (1) вместо  $I_j$  подставить  $I_j^{(0)}$  из (2), то, используя (П16), получим для интенсивности HB на гоанице  $\tau=0$ :

$$I_{I}^{(1)} = \int_{0}^{\infty} \frac{d\tau}{r} \left[ q k_{I}^{*} + \sum_{i} k_{Ii} R_{I} \right] \exp\left(-\int_{0}^{\tau} k_{I} \frac{d\tau'}{r}\right)$$
 (7)

где  $k_i^n$ ,  $k_j$  и  $k_{ji} = k_{ji}(\emptyset) = \int dn' k_{ji}(n,n')$  зависят от угла  $\emptyset$  (см. (П6), (П12)). Формулу (7) можно рассматривать как первую итерацию решения (1) (при нулевой итерации  $I_i^{(0)}$  из (2)).

обобщение условия Маршака [13]:

$$2D_{I}\frac{dR_{I}}{d\tau}=R_{I}\text{ при }\tau=0. \tag{8}$$

Примем, как это часто делается [14], что отношения  $k_1^a/k_2^a$  не зависят от  $\tau$ . Это предположение выполняется, в частности. для плазмы с однородной концентрацией и температурой  $(q(\tau)=\text{const}$  в условиях  $\Lambda$ TP) и позволяет получить аналитические решения при произвольной зависимости  $q(\tau)$ , которые качественно описывают влияние изменения энерговыделения с глубиной. Например, для линейной зависимости  $q(\tau)=q_0(1+\beta\tau)$  из (4), (8) получаем

$$R_{j}(\tau) = q_{0} \left( 1 + \beta \tau + \sum_{n=1,2} A_{jn} e^{-p_{n} \tau} \right),$$
 (9)

где

$$A_{jn} = \frac{b_j f_{j,3-n} g_{3-1} + a_{j,3-n} f_{3-j,3-n} g_j}{a_{jn} f_{j,3-n} f_{3-j,n} - a_{j,3-n} f_{jn} f_{3-j,3-n}}; \quad A_{jn} = -\frac{b_j}{a_{jn}} A_{3-j,n}$$
(10)

$$p_a^2 = \frac{1}{2} \left[ b_1 + c_1 + b_2 + c_2 \mp \left[ (b_1 + c_1 - b_2 - c_2)^2 + 4b_1b_2 \right]^{1/2} \right]; \tag{11}$$

$$b_{j} = \frac{S}{D_{j}}, \quad c_{j} = \frac{x_{j}}{D_{j}}, \quad a_{jn} = p_{n}^{2} - b_{j} - c_{j}, \quad f_{jn} = 1 + 2D_{j}p_{n}, \quad g_{j} = 1 - 2D_{j}\beta;$$
(12)

$$p_1^2 p_2^2 = b_1 c_3 + b_2 c_1 + c_1 c_2, \quad a_1 a_2 = b_1 b_2, \quad a_{jn} = -a_{jn-1}$$
 (13)

С помощью (9), (2), (8) и (7) дегко найти на границе  $\tau=0$  нормальные компоненты потоков

$$F_{iN}^{(0)} = 2\pi R_i \ (z = 0) = 2\pi q_0 \left(1 + \sum_i A_{in}\right)$$
 (14)

и интенсивности НВ в нулевом и первом приближениях

$$I_i^{(6)} = \frac{F_{iN}^{(6)}}{2\pi} \left(1 + \frac{\mu}{2D_i k_i}\right).$$
 (15)

$$I_i^{(1)} = q_0 \left( 1 + \beta \frac{\mu}{k_I} + \sum_{i=1,2} \frac{k_{ii} A_{ii}}{k_i + \gamma p_i} \right)$$
 (16)

Аналогичным образом получаются решения для произвольной q(t). Отличительной особенностью таких решений является наличие двух характерных длин  $p_n^{-1}$ , формулы (11) для которых были получены Нагелем [9].

Если пренебречь трансформацией НВ ( $S \ll x_{\rm L,2}$ ), то  $p_n^2 = x_n/D_n$ ,  $A_{In} = - b_{In} \chi/f_I$  и

$$R_j(\tau) = q_i \left(1 + \beta \tau - \frac{1 - 2\beta D_j}{1 + 2\rho_j D_j} e^{-\rho_j \tau}\right)$$
 (17)

т. е.  $p_{1,2}^{-1}$  имеют смысл обычных диффузионных длин (см., например, [15]) для волн  $j=1,\ 2$  по отдельности. При этом

$$I_{j}^{(1)} = q_{0} \left[ 1 + \beta \frac{\mu}{k_{j}} - \frac{(1 - 2\beta D_{i}) k_{j}^{s}}{(1 + 2\rho_{j}D_{i}) (k_{j} + \mu\rho_{j})} \right] \frac{F_{iN}}{x_{j}D_{i} \ll 1} \frac{F_{iN}}{2\pi} \left( 1 + \frac{\mu}{2D_{j}k_{j}^{s}} \right). \tag{18}$$

где  $F_{jN}\simeq F_{jN}^{(0)}=4\pi q_0x_j\,p_j^{-1}(1+\frac{9}{2}p_j^{-1})$ — выходящий поток при слабом поглощении (ср. с (19)). Положив в (17) и (18)  $k_j=1$ ,  $k_j^0=x=\xi$ ,  $k_j=1+\xi$ ,  $D_j=[3(1+\xi)]^{-1}$ ,  $p_j=[3(1+\xi)]$  переходим к решению при

B=0. При этом выходящее излучение получается неполяризованным  $(I_1=I_2)$ , что связано с пренебрежением фазовыми связями между HB (см. Введение). Если  $\tilde{\epsilon}\ll 1$  (слабое поглощение), то выражение для выходящего потока при  $\beta=0$ ,  $F_{JN}=4\pi q_0 | \tilde{\epsilon}/3$ , в изотролном случае совпалает с результатом точной теории (см., например, [15]), а угловое распределение  $I(\mu) \approx 1 + 3\mu/2$  оказынается таким же, как и в приближении  $\Im$ ддингтона [14].

В отсутствие рассеяния,  $k_1^*=0$ , (18) переходит в известный результат [16]

$$I_{i} = q_{0} \left( 1 + \beta \frac{\pi}{k_{i}^{a}} \right), \quad F_{iN} = \pi q_{0} \left( 1 + 2\beta D_{i} \right).$$
 (19)

Если трансформация НВ превышает их поглощение,  $S \gg x_{1,2}$  (фактически это имеет место при минимальном из  $k_{1,2}^{*}$ ), то

$$\rho_1^2 = \frac{x_1 + x_2}{D_1 + D_2} = \frac{x}{D} = \rho_1^2; \quad \rho_2^2 = S\left(\frac{1}{D_1} + \frac{1}{D_2}\right) = \rho_2^2; \quad \rho_1 \gg \rho_d; \quad (20)$$

$$A_{,1} = -1 + 2(\rho_d + \beta)D\left(1 + \frac{G^2}{1 + w}\right);$$

$$A_{,2} = (-1)^{j+1}2(\rho_d + \beta)\frac{G}{1 + w}D_{3-j}. \quad (21)$$

где  $G=(D_1-D_2)/2D$ ,  $D=(D_1+D_2)/2$ ,  $u^*=4S_ip_i$ . Длина  $p_d^{-1}$  является диффузионной длиной для неполяризованного излучения (см. (4a) и раздел 4). Длина  $p_i^{-1}$  является длиной деполяризации из-за трансформации НВ, т. к. и этом случае, согласно (9) и (21), при  $v=p_i^{-1}$  имеем  $R_1=R_2$  ( $A_{i1}$  не зависит от j). Для потоков и интенсинностей при v=0 имеем

$$F_{NN}^{(0)} = \frac{F_{NN}^{(0)}}{2} \left[ 1 - (-1)^{l} \frac{G}{1+w} \right], \quad F_{NN}^{(0)} = F_{1N}^{(0)} + F_{2N}^{(0)} = 8\pi q_{0} \times p_{d}^{-1} (1 + \beta p_{d}^{-1}),$$
(22)

 $I_{I}^{(1)}$  дается формулой (15) с  $F_{IN}^{(1)}$  из (22);

$$I_{i}^{(1)} = \frac{F_{i}^{(0)}}{4\pi} \left\{ 1 + \frac{\mu}{2Dk_{f}} + \frac{G}{1+w} \frac{\mu p_{f}G - (-1)^{i}(k_{f} - k_{f, 2-j})}{k_{f} + \mu p_{f}} \right\}$$
(23)

Если в исходном уравнении (1) положить  $k_j^a=0$ ,  $Q_j=0$  (задача Милна), то решение соответстнующего диффузионного уравнения ((4) при  $\mathbf{x}_j=0$ ) с граничными условнями (8) дает

$$R_{j}(\tau) = \frac{F_{N}}{4\pi} \left\{ 1 + \frac{G^{4}}{1+w} + \frac{\pi}{2D} - (-1)^{j} \frac{D_{1-j}}{D} \frac{G}{1+w} e^{-p_{f}\tau} \right\},$$
 (24)

где  $F_N$ — заданная нормальная компонента суммарного по поляризациям потока, сохранение которой следует из (1):  $F = dF_N d = 0$ . Формула (24) получается также, если подставить (21) в (9), положить тели заменить  $F_N^{-1}$  (определен в (22)) на  $F_N$ ). Для  $F_{IN}^{(0)}$ ,  $I_I^{(0)}$  и  $I_I^{-11}$  при  $\tau=0$  подстановкой (24) в (2) и (7) получаются формулы (22), (15) и (23), в которых  $F_N^{-31} \to F_N$ . Такое совпадение объясняется тем, что при  $S\gg x_I$  поток интенсивности формируется на глубине  $\sim p_d^{-1}$  много большей, чем глубина  $\sim p_I^{-1}$ , на которой формируется поляризация. 8—370

Отметим, что получившаяся формула для  $I_j^{(1)}$  приводит, в отличие от  $I_j^{(0)}$ , к выходящему потоку, не совпадающему с  $F_N$ . Поэтому в (23) заменим  $F_N^{(0)}$  не на  $F_N$ , а на нормировочный поток  $\Phi_N$ , определяемый из условия:  $\sum_j \int_{\Omega} dn_j I_j^{(1)} = F_N$ . Вычисления показывают, что отличие

 $\Phi_N$  от  $F_N$ , являющееся мерой неточности рассматриваемого метода, не превышает нескольких процентов.

Если в (23) положить G=0 ( $D_1=D_2$ ), то (23) переходит в решение задачи без рассеяния с градиентом температуры [16] (см. (19) при  $\beta \to (2D)^{-1}$ ,  $q_0 \to F_0/4\pi$ . Такое же решение было получено Канно [11] для задачи Милна в предположении, что  $R_1=R_2=(F_0/2\pi)\times (1+\sqrt{2D})$  для произвольного соотношения между  $D_1$  и  $D_2$ .

4. Метод подбора постоянных в диффузионном решении с помощью интегральной формы уравнения переноса. Используя свойства коэффициентов  $k_{l,i}(n, n')$  и  $k_{i}(n)$ , приведенные в Приложении, уравнения переноса (1) для плоскопараллельной среды можно записать в виде

$$\mu \frac{dI_{j}(\vec{n}, \tau)}{d\tau} = k_{j}(\vec{n})I_{j}(\vec{n}, \tau) - \sum_{d=2n-1}^{1} \alpha_{ij}^{d}(\vec{n})J_{ij}(\tau), \quad (25)$$

rae

$$f_{a3}(\tau) = t_a t_b \left\{ \frac{3}{8\pi} \sum_{i,j=1,2,3} \int dn a'_{ij}(n) I_i(n,\tau) + \delta_{ab} t_a q(\tau) \right\}$$
 (26)

величины a<sub>21</sub> (л), t<sub>4</sub>, ξ, даются формулами (П5, П12).

Aля тензора  $J_{a\beta}(\pi)$  из (25) получается система интегральных уравнений [7, 8]

$$f_{ab}(\tau) = \delta_{ab} f_a^b l_a q(\tau) + \sum_{j_a = -1}^{j_a} \int_{0}^{\infty} d\tau' K_{ab\gamma i} (|\tau - \tau'|) f_{\gamma i}(\tau')$$
 (27)

с ядром

$$K_{\alpha\beta\gamma\delta}(\tau) = t_{\alpha}t_{\beta}\frac{3}{8\pi}\sum_{i=1,\dots,N}\int\limits_{\Omega}\frac{dn}{\mu}\alpha_{\alpha\beta}'(n)\alpha_{\gamma\delta}'(n)\exp\left[-\frac{\tau k_{\delta}(n)}{\mu}\right], \quad (28)$$

где  $\Omega_+ -$  область телесных углов с  $\mu > 0$ . Предлагаемый здесь метод основан на нахождении приближенного выражения для  $J_{**}(\tau)$ , которое

при больших т описывает режим неполяризованной диффузии (см. (4a)), а на границе удовлетворяет уравнению (27) при т = 0.

Решение уравнения диффузии (4а) имеет вид

$$R(\tau) = Ce^{-p_d \tau} + R_p(\tau), \quad R_s(\tau) = p_d \int_0^\infty d\tau' q(\tau') \exp\left(-p_d | \tau - \tau'|\right), \quad (29)$$

где  $p_{-}=1$  D/x- диф рузионная длина.  $R_{r}(z)$ — частное решение уравнения (4a). Подставляя в (26)  $I_{r}(n,z)\simeq R(z)/2$ , получим

$$\int_{\mathbb{R}^3} (z \to \infty) = \tilde{\epsilon}_{ij} d_i^2 \left[ \frac{R(z)}{2} + \tilde{\epsilon}_{ij} q(z) \right].$$
 (30)

Для произвольных т будем искать приближенное выражение  $J_{sp}$  (т) в форме (30), ааменив тензор  $C_{sp}J_{sp}^{p}$  на  $2C_{sp}$ :

$$f_{s,t}(\tau) \simeq C_{s,t}e^{-P_d\tau} + \delta_{s,t}t^2 \left[ \frac{R_{\rho}(\tau)}{2} + L_{s,q}(\tau) \right]$$
 (31)

При  $\tau \gg \rho_{s}$  (31) переходит в (30). Подставив (31) в правую часть (26) и положив  $\tau = 0$ , получим систему алгебраических уравнений для тензора  $C_{c_0}$ :

$$C_{a,b} = d_{a,b} + \sum_{i,j=1}^{n} b_{i,b;j} \epsilon C_{i,k},$$
 (32)

$$d_{s,t} = t_s t_s \left\{ -\tilde{s}_{s,t} \frac{\widetilde{K}_{\mu}}{2} + \frac{3}{8\pi} \sum_{i=s,t} \int_{\Omega_s} \frac{d\vec{n}}{\mu} a_{s,t}^{*}(\vec{n}) \left[ \frac{k_t^*(\vec{n})}{2} \widetilde{K}_{\mu} + k_t^*(\vec{n}) \, \widetilde{q} \right] \right\}. (33)$$

$$b_{\rm edge} = \frac{3}{8\pi} t_e t_{\rm p} \sum_{i=1,2} \int_{\Omega_e} d\vec{n} \frac{a'_{el}(\vec{n}) \, a'_{el}(\vec{n})}{k_i(\vec{n}) + v p_d}, \tag{34}$$

где  $f=f((k_t(n))/\mathfrak{p})$  означает лапласовское преобразование функции  $f(\tau)$ . Интенсивности выходящих из среды НВ получаются из (25) с помощью (31):

$$I_{i} = \frac{\sum_{n} C_{n} \alpha_{i}^{i}(n)}{k_{i} + \prod_{n} p_{n}} - + \frac{1}{\mu} \left( \frac{k_{i}^{n}}{2} \widehat{R}_{p} + k_{i}^{n} \widehat{q} \right)$$
(35)

В случае непоглощающей среды ( $\bar{\epsilon}_{a}=0$ ,  $p_{d}=0$ ; задача Милна) решение уравнения диффузин  $R(\tau)$  и соответствующее ему выражение аля  $J_{a5}(\tau)$  имеют нид

$$R(\tau) = \frac{F_N}{4\pi D}(C + \tau), \qquad f_{\tau\beta}(\tau) = \frac{F_N}{8\pi D} \delta_{\alpha\beta} t_z^2 (C + \tau),$$
 (36)

где  $F_N$  — заданное значение нормальной компоненты потока. Приближенное выражение для  $\int_{\mathbb{R}^3} (\tau)$  ищем в виде

$$f_{ab}(z) = \frac{\Phi_N}{8\pi D} (C_{ab} + \delta_{ab}t_s^2z).$$
 (37)

Для ковффициентов  $C_{\epsilon 3}$  из уравнения (27), при  $\tau = 0$ , получается система (31) в которой

$$d_{nj} = \frac{3}{8\pi} t_n t_j \sum_{i=1,2} \int_{Q_+} d\vec{n} \frac{p \vec{a}_{nj}(\vec{n})}{k_n^i(\vec{n})},$$

$$b_{nj,i} = \frac{3}{8\pi} t_n t_j \sum_{i=1,2} \int_{Q_+} d\vec{n} \frac{\vec{a}_{nj}(\vec{n}) \vec{a}_{jn}^i(\vec{n})}{k_n^i(\vec{n})}.$$
(38)

Интенсивности выходящих НВ даются формулой

$$I_{j} \simeq \frac{\Phi_{N}}{8\pi D} \frac{\mu + \sum_{i,j} C_{i,j} \alpha_{i,j}(n)}{\kappa_{j}^{*}(n)}$$
(39)

где нормировочный поток  $\Phi_N$  (ср. раздел 3) находится из условия:  $F_N = \sum_N dn M_N$ . Отметим, что в данном методе отличие  $\Phi_N$  от  $F_N$  ока-

зывается существенно большим (десятки процентов), чем в методе связанной диффузии.

Из четности подинтегральной функции в (38) (см. П15, П16)) следует, что система уравнений (32) распадается на три независимых подсистемы с  $|\alpha-\beta|=0$ , 1, 2, а сумма диагональных компонентов  $C_{**}$  равна 3/2 ( $\sum d_{**}-3/4$ ,  $\sum b_{**}=\delta_{1}^{*}/2$ ). Наконец, заметим, что формула

- (39) в случае  $\vec{B} \to 0$  приводит к угловой зависимости  $I_1 = I_1 \to 1 + 2\mu (5/152) (1-\mu^a)$ , которая ближе к точному решению задачи Милна, с рэлеевской индикатрисой рассеяния [17], чем зависимость  $I_1 \sim 1 + (3/2) \, \mu$ , получаемая методом связанной диффузии (раздел 3).
- Результаты и обсуждения. На рис. 1—3 представлены результаты расчета различными методами интенсивности излучения, выходящего из полубесконечной среды (плазмы) с однородным магнитным полем, по раз-

ному наклоненным к нормали. Видно, что результаты предлагаемых методов связанной днффузии (СД) и подбора постоянных (ПП) качественно совпадают с более точными расчетами [7]. Степени линейной и циркулярной поляривации определяются формулами  $P_L = Q/I$  и  $P_C = V/I$ , гле

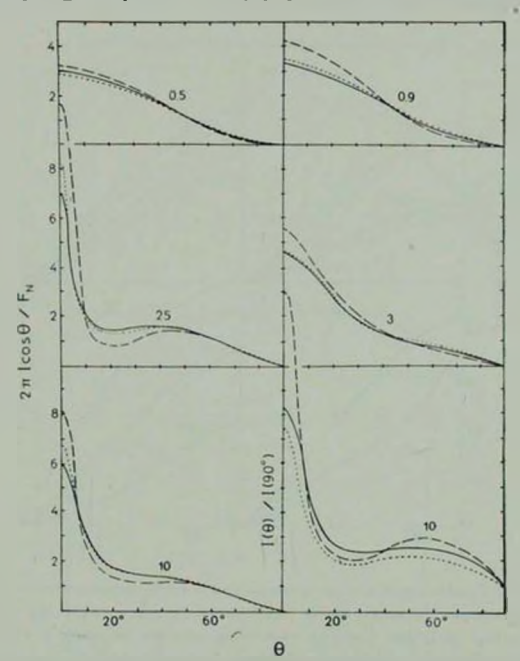


Рис. 1. Зависямость интенсивности I издучения подубескомечной плавым с магиятным полем, парадледыми иормали ( $\Theta_B=0$ ) от угла  $\Theta$ . На иссх рисунках пунктирной и штриховой линиями изображены результаты методов СД (равдел 3) и ПП (равдел 4), сплошной линией — болсе точные результаты работы [7]. За исключением правой инжией части рисунка, представлены кривые I соз  $\Theta$  — одиницах  $F_M$  2. Цифры у иривые облавать от отношение  $\omega_B \omega = 1$  и.

Q, V и интенсивности I выражаются через интенсивности HB согласно (ПЗ). Результаты расчетов величин  $P_L$  и  $P_C$  при  $\Theta_B=0^\circ$ ,  $90^\circ$ ,  $45^\circ$  приведены нами в [18]. При  $\Theta_B=0^\circ$ , для угловых зависимостей

 $P_L$  ( $\Theta$ ),  $P_C$ ( $\Theta$ ) также имеет место хорошее согласие с результатами [7]. При  $_0 \geq \varpi$  мето  $_A$  С $_A$  оказался заметно точнее, чем ПП, тогда как при  $_0 \geq \varpi$  точнее оказывается мето  $_A$  ПП. Мето  $_A$  ПП приводит к наибольшим ошибкам при  $_0 \ll \varpi_R$  и  $_1 \varpi - \varpi_R \ll \varpi_R$ , когда  $_1 \simeq 1$  сильно

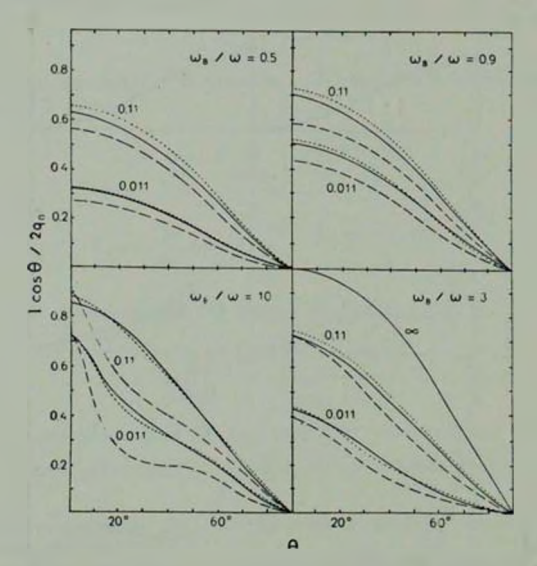


Рис. 2. Угловое распределение витенсивности I излучения полубесконсчиой плазмы с равиомерно распределениями источнивами  $(q-q_c-\cos t)$  при различних  $\omega_{B/\omega_B}$  для  $\theta_B=0$ . Цифры у вривых обозначают всличину параметра  $t-k^a/k^a$ . В расчетах принято  $t_1=t_1=t$  (см. Приложение). В прявой нижней части рисунка приведена вривая для случая, вогда рассевиие отсутствует  $(t-c_1)$   $t-c_2$  для любых  $t-c_3$   $t-c_4$  для любых  $t-c_4$   $t-c_5$   $t-c_5$   $t-c_5$   $t-c_5$   $t-c_5$  для любых  $t-c_5$   $t-c_5$  t-

отличается от  $k_3$ . Достоинством его является то, что он допускает (в отличии от CA) простое обобщение [8] на случай сравнительно слабых магнитных полей, когда интенсивностей НВ недостаточно для описании налучения (см. Впедение). Ошибки обоих методов максимальны, когда луч эрения мало отклоняется от поверхности излучающей плазмы ( $\Theta \simeq 90^\circ$ ), так как при этом главный вклад в излучающей

тонкие приповерхностные слои, где диффузионный подход особенно неточеи. Поэтому для отношений I(H)/I/(90) (рис. 1) совпадение с решениями [7] заметно хуже, чем для наблюдаемых величин /соз  $\Theta$ , нормированных в случае задачи Милна (рис. 1, 3) на сохраняющийся поток  $F_N$ .

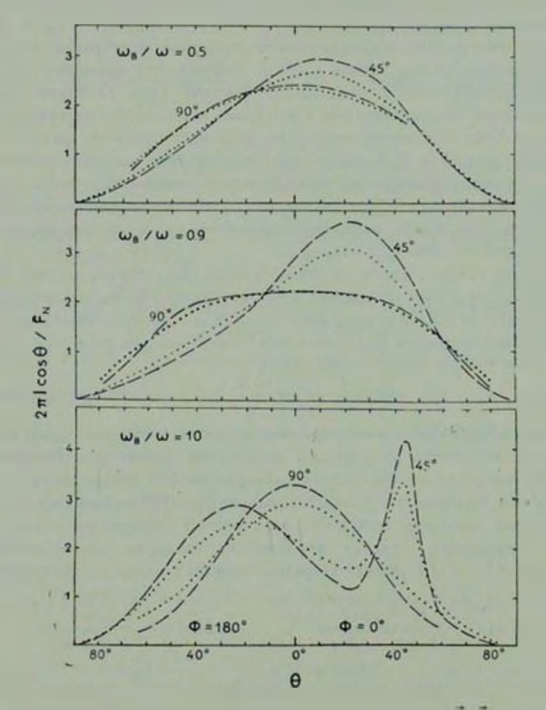


Рис. 3. Угловов распределение интоисивности в плоскости (N, B) для  $\Theta_B = 45^\circ$ , 90 и различных — (цифры около кривых) в задачо Милиа.

Учет только обыкновенной НВ при  $\omega = B$  [6] приводит для задачи Милна к угловым зависимостям, качественно отличающимся от изображенных на рис. 1, т. к. излучение выходит в основном в необыкновенной

волне. Упрощающее предположение Канно [11] не слишком искажает угловые зависимости интенсивности, однако для поляризации приводит к зависимостям, качественно отличным от представленных в [18].

На рис. З изображены результаты методов СД и ПП при  $\theta_0 = 90^\circ$  и 45°, для которых отсутствуют «точные» решения [7]. Совпадение кривых получается не хуже, чем при  $\theta_0 = 0$ .

Хотя обсуждение астрофизических следствий полученных результатов не является целью данной работы, отметим, что изменение профили углового распределения с частотой для 43—45 (рис. 5) весьма напоминает изменение формы импульсов некоторых рентгеновских пульсаров [19].

В заключение отметим, что с помощью приближенных формул, приведенных в разделах 3, 4, можно получить простые аналитические выражения для всех характеристик выходящего излучения во многих практически важных случаях. С другой стороны, точность предлагаемых методов может быть, в принципе, существенно повышена, если использовать их результаты для последующих итераций.

Следует указать, что когда данная работа была близка к завершению, нам стало известно о готовящейся к печати работе Нагеля, в которой разрабатывается метод, отличающийся от метода СД незначительными деталями. Мы благодарны В. Нагелю за посылку нам рукописи атой работы.

Приложение

Поляризация HB и коэффициенты переноса в холодной разреженной плазме. В достаточно разреженной и холодной плазме (см. Введение) с высокой точностью можно считать поляризации HB поперечными и ортогональными (главные оси вълипсов поляризации HB перпендикулярны, и направления вращения влектрического вектора противоположны). Их удобно определять, задавая циклические проекции ортов поляризации  $e_{s}^{s}$  ( $\alpha=0,\pm1$ ) в системе координат с осью z вдоль магнитного поля:

$$e_{s,t}^{l}(\vec{n}) = \frac{K_{l} \pm \cos \vartheta}{V \cdot 2(1 + K_{l}^{2})} e^{\mp i\varphi}, \qquad e_{\theta}^{l}(\vec{n}) = -\frac{\sin \vartheta}{V \cdot 1 + K_{s}^{2}},$$
 (F11)

где 0 и - полярный и азимутальный углы орта л волнового вектора

$$K_{i} = -i \frac{E_{ij}^{(j)}}{E_{i}^{(j)}} = -\frac{2\cos\theta}{|\overline{u}\sin^{2}\theta + (-1)^{j}Vu\sin^{4}\theta + 4\cos^{2}\theta}$$
 (Fig.

— параметр, описывающий степень валиптичности HB ( $K_I=\pm 1$  для круговой поляризации;  $K_I=0$ ,  $\infty-$  для лимейной;  $K_IK_I=-1$ ), u=-1. Параметры Стокса излучения, определенные в системе с

осью z вдоль n, а осью x в плоскости (n, B), выражности через интенсивности HB:

$$I = \sum_{j=1,2} I_j$$
,  $Q = \sum_{j=1,2} p_Q^i I_j$ ,  $V = \sum_{j=1,2} p_V^i I_j$ ,  $U = 0$ , ( $\Pi$ 3)

где  $p_0^t$  и  $p_V^t$  — степени линейной и круговой поляризации НВ:

$$p_Q^i = \frac{1 - K_I^2}{1 + K_I^2}, \quad p_V^i = -\frac{2K_I}{1 + K_I^2}; \quad p_{Q,V}^i = -p_{Q,V}^{i-1}, \ (p_Q^i)^2 + (p_V^i)^2 = 1. \tag{\Pi4}$$

Электрический вектор обыкновенной НВ колеблется в плоскости (n, B) и вращается в направлении, противоположном направлению ларморовского вращения влектрона.

Коаффициенты рассеяния (в единицах  $(N, \pi_1)^{-1}$ ) удобно записать в виде (см., например, [2, 20])

$$k_{ij}(\vec{n}, \vec{n}') = \frac{3}{8\pi} \left[ \sum_{i} t_i e_i'(\vec{n}) \hat{e}_i'(\vec{n}') \right] = \frac{3}{8\pi} \sum_{i,j=1}^{N} t_i t_j \hat{a}_{ij}'(\vec{n}) \hat{a}_{ij}'(\vec{n}'), \quad (\Pi 5)$$

где  $t_* = (1+2)^*u^*$ ) — безразмерные циклические компоненты тензора поляризуемости  $t_* = t_* t_*$  электрона в магнитном поле,  $a_*^i (n) =$  $= e_*(n) e_*^i(n)$ . Ингегральные (по направлениям рассеянного фотона) коэффициенты рассеяния имеют вид

$$k_{ij} = k_{ij}(\theta) = \int d\mathbf{n}' k_{ij}(\mathbf{n}, \mathbf{n}') = \sum_{n=-1}^{1} t_n^2 a_n^*(\theta) A_n^I,$$
 (П6)

TAC

$$\frac{1}{2\pi} \int_{0}^{2\pi} d\varphi a_{s}^{j}(n) = \delta_{s} a_{s}^{j}(0), \quad a_{s}^{j}(0) = a_{s}^{j}(n) - |e_{s}^{j}(n)|^{2}; \quad (\Pi 7)$$

$$\sum_{j=1,2} a'_{\pm 1}(\theta) = \frac{1 + \cos^2 \theta}{2}, \quad \sum_{j=1,2} a'_{\pm}(\theta) = \sin^2 \theta, \quad \sum_{n=-1} a'_{\pm}(\theta) = 1; \quad (\Pi 8)$$

$$a_{i}(\theta) = \frac{\sin^{2}\theta}{2} (1 + p_{Q}^{i}), \quad a_{1}(\theta) = \frac{1}{4} (1 + \cos^{2}\theta \pm 2p_{Q}^{i} \cos\theta - p_{Q}^{i} \sin^{2}\theta);$$
(\Pi9)

$$A_s^I = \frac{3}{4} \int d^0 \sin \theta \, a^I(\theta); \qquad \sum_i A_i^I = 1; \qquad \sum_i A_i^I = \frac{3}{2}.$$
 (F10)

Для коэффициента поглощения ј-ой волны вследствие рассеяния имеем:

$$k_j^* = k_j^* (\vartheta) * \sum_{i=1,2} k_{ji}(\vartheta) = \sum_{n=-1}^{1} t_n^2 a_j^j(\vartheta).$$
 (Fil1)

Коэффициент «истинного» поглощения из-за свободно-свободных переходов дается формулой [16]

$$k^* = k_i^*(0) = \sum_i t_i^2 z_i a_i^*(0),$$
 (F12)

где  $1 = v_0$ ,  $v_1 = v_{-1} = v_0$  и  $v_0 = v_1$  — эффективные частоты электрон-ионных столкнопений поперек и вдоль магнитного поля,  $v_0 = 2e^2\omega^2/3mc^3$  — радиационная ширина. Величины можно записать в ниде

$$\xi_{a} = \frac{\omega_{s}^{2}}{\omega^{2}} \left( \frac{me^{2}}{kT_{e}} \right)^{3/2} \sqrt{\frac{\pi}{6}} g_{s},$$
 (П13)

где  $= (4\pi N_{el}^2/m)^{1/2}$ — плазменная частота, у — факторы Гаунта, занисящие от магнитного поля, частоты и температуры [21, 22]. Полный коэффициент акстинкции имеет вид

$$k_i = k_i^* + k_i^* = \sum_{n=-1}^{1} t_i^2 (1 + \xi_i) \alpha_i^I(0),$$
 (F14)

Наконец, отметим, что

$$p'_{ij}(\vec{n}) = p'_{ij}(-\vec{n}), \quad p'_{i}(\vec{n}) = -p'_{ij}(-\vec{n}), \quad \alpha_{ij}(\vec{n}) = \alpha'_{ij}(-\vec{n}); \quad (\Pi 15)$$

$$k_{ij}(\mathbf{n}, \mathbf{n}') = k_{ij}(-\mathbf{n}, \mathbf{n}') = k_{ij}(\mathbf{n}, -\mathbf{n}');$$
  
 $k_{ij}(-\mathbf{n}) = k_{ij}(-\mathbf{n}); \quad k_{i}^{*, a}(\mathbf{n}) = k_{i}^{*, i}(-\mathbf{n}).$  (116)

Кроме того, непосредственно из (П5) следует свойство взаимности

$$k_{ij}(n, n') = k_{ji}(n', n).$$
 (III7)

Физико-технический институт им. А. Ф. Ноффе

## APPROXIMATE METHODS FOR SOLUTION OF RADIATIVE TRANSFER PROBLEMS IN A STRONGLY MAGNETIZED COLD PLASMA

#### A. D. KAMINKER, G. G. PAVLOV, N. A. SILANT'EV, Yu. A. SHIBANOV

Two approximate methods are developed for the solution of the equations of radiative transfer in an optically thick plasma for any orientation of uniform magnetic field. Being based on diffusion approximation the methods use two different ways of continuation of the diffusion solution from deep layers of plasma to the emitting boundary. Using the approaches developed the simple formulae are derived convenient for calculations as well as for qualitative analysis of spectral, angular and polarization characteristics of outgoing radiation. The results are in a good agreement with more accurate numerical calculations [7] which are available for the case when the magnetic field is perpendicular to the emitting boundary.

#### AHTEPATYPA

- 1. IO H [Medium, F F Mandon, ЖЭТФ, 11, 1806, 1973.
- А. З. Долимов, Ю. Н. Гислин. Н. А. Силантьев. Распространение и поляризация излучения в космической среде, Наука, М., 1979.
- 3. А. Ф. И. парионов, Р. А. Сюняев, Астрон. ж., 51, 698, 1974.
- 4. J. E. Folten, M. J. Rees, Astron. Astrophys., 17, 226, 1972.
- 5. H. A. Cu.ionтьео. Астрон. ж., 56, 37, 1979.
- М. М. Баско, Астрофизика, 12, 273, 1976.
- Н. А. Силанться, Перенос излучения в однородной магнитовитивной плазме. Препринт ФТП им. А. Ф. Иоффе АН СССР № 685, Ленинград, 1980.
- Н. А. Силантьев, Автореферат канд, диссертации «Перенос поляризованного излучения», ФТИ им. А. Ф. Ноффе АН СССР, 1972.
- 9. W. Nagel, Ap. J., 236, 904, 1980.
- 10. P. Meszaros, W. Nagel, J. Ventura, Ap. J., 233, 1066, 1980.
- 11. S. Kanno, PAS Japan, 32, 105, 1980.
- 12. Г. Г. Павлов. Д. Г. Яковлев, Астрофианна, 13, 173, 1977.
- 13. R. Morshok, Phys. Rev., 71, 443, 1947.
- 14. В. В. Собо гел. Курс теоретической астрофизики, Наука, М., 1967.
- 15. В. В. Инанов, Перенос излучения и спектры небесных тел, Наука, М., 1969.
- 16. Г. Г. Пав. юв. Ю. А. Шибанов. Астрон. ж., 55, 373, 1978.
- 17. С. Чандрасскар, Перенос лучистой энергии, ИА, М., 1953.
- A. D. Kaminker, G. G. Pavlov, N. A. Stlant'ev, Yu. A. Shibanov, Proprint No. 716 of A. F. loffe Inst. Phys. Technol. Leningrad, 1981.
- H. Bradt et. al., Ap. J. 204, L57, 1974; S. H. Pravdo et. al., Ap. J. 231, 912, 1979; S. H. Pravdo et al., M. N. RAS, 188, 5P, 1979.
- 20. J. Ventura, Phys. Rev., D19, 1684, 1979.
- 21. Г. Г. Павлов, А. Д. Каминкер, Письма АЖ, 1, 12, 1975.
- 22 F F Pag 10g. A H Planos, WOTO, 71, 572, 1976.